

В.М.Різак¹, П.В.Маркевич¹, О.В.Тимченко²

¹ Ужгородський національний університет,

² Українська академія друкарства, Uniwersytet Warmińsko-Mazurski w Olsztynie

ВИЗНАЧЕННЯ ЗАГАСАННЯ СИГНАЛУ В ОПТОВОЛОКОННІЙ ЛІНІЇ ЗА УМОВИ НЕКАЛІБРОВАНОГО ПРИЙМАЧА ТА ДЖЕРЕЛА СИГНАЛУ

Вступ

Враховуючи постійний ріст послуг та необмежених можливостей пов'язаніх з технологією IP, стрімко зростає і число їх користувачів, а відтак збільшуються і об'єми трафіку передачі пакетних даних. Для забезпечення якісної, завадостійкої та зламозахисної передачі інформації широко застосовують і вводять в дію нові лінії на основі оптичного волокна.

Відтак, при будівництві і в ході експлуатації інженерно-технічний персонал фірм-провайдерів часто стикається із завданням, щодо вимірювання загасання в цих лініях, для модернізації системи передачі чи аналізу можливостей збільшення трафіку по них. В даний час в оптичних мережах застосовуються два способи вимірювання загасання:

-за допомогою оптичних рефлектометрів;

-за допомогою калібриваних джерела випромінення та приймача сигналу на певній довжині хвилі.

У випадку використання каліброваного обладнання часто виникають ситуації неможливості його калібровки, відтак актуальним буде визначення методів та математичних обрахунків вимірювань, щодо визначення загасання сигналу за умови некаліброваного приймача та джерела сигналу.

Метою роботи є вивести, з результатів, знятих експериментальним шляхом, алгоритм визначення загасання в оптоволоконній лінії.

Методика дослідження

Для визначення кілометричного загасання в оптоволоконній лінії на довжинах хвиль 1310 нм і 1550 нм використовувався рефлектометр MTS 6000 фірми JDSU. Даний вимірювальний пристрій підключався до діючої лінії передачі.

При проведенні експериментальних вимірювань загасання потужності оптичного сигналу на штучній лінії використовувались два одномодові патчкорди типу 9/125 Single Mode Fiber Optic FC/FC (3m), оптичні конектори яких були провірні перед тестуванням за допомогою мікроскопа FBP-HD-1 фірми Westover (рис. 1).



Рис.1. Вигляд конектора типу FC/FC у збільшенному вигляді

В ході експерименту довжину лінії штучно збільшували за допомогою оптичного атенюатора Variable attenuator FVA-60B фірми EXFO. Показники зміни потужності сигналу оприділялись із використанням вимірювального некаліброваного між собою обладнання - волоконно-оптичного приймача EPM-500 серії FiberBasix та оптичного джерела сигналу EPS-500 серії FiberBasix фірми EXFO (рис.2).



Рис.2. Макет штучної оптоволоконної лінії

Для вимірювань, в ході експерименту, застосовувалось наступне обладнання:

- волоконно-оптичний приймач EPM-500 серії FiberBasix та оптичне джерело сигналу EPS-500 серії FiberBasix фірми EXFO;
- атенюатор оптичний Variable attenuator FVA-60B фірми EXFO;
- рефлектометр MTS 6000 фірми JDSU;
- мікроскоп для оптичних конекторів FBP-HD-1 фірма Westover (з насадкою для конекторів типу FC).

Експериментальні результати роботи та їх обговорення

Процес загасання сигналу - це поступова втрата його потужності під час поширення в певному середовищі. Це стосується і сигналу, що поширюється в оптоволоконній лінії.

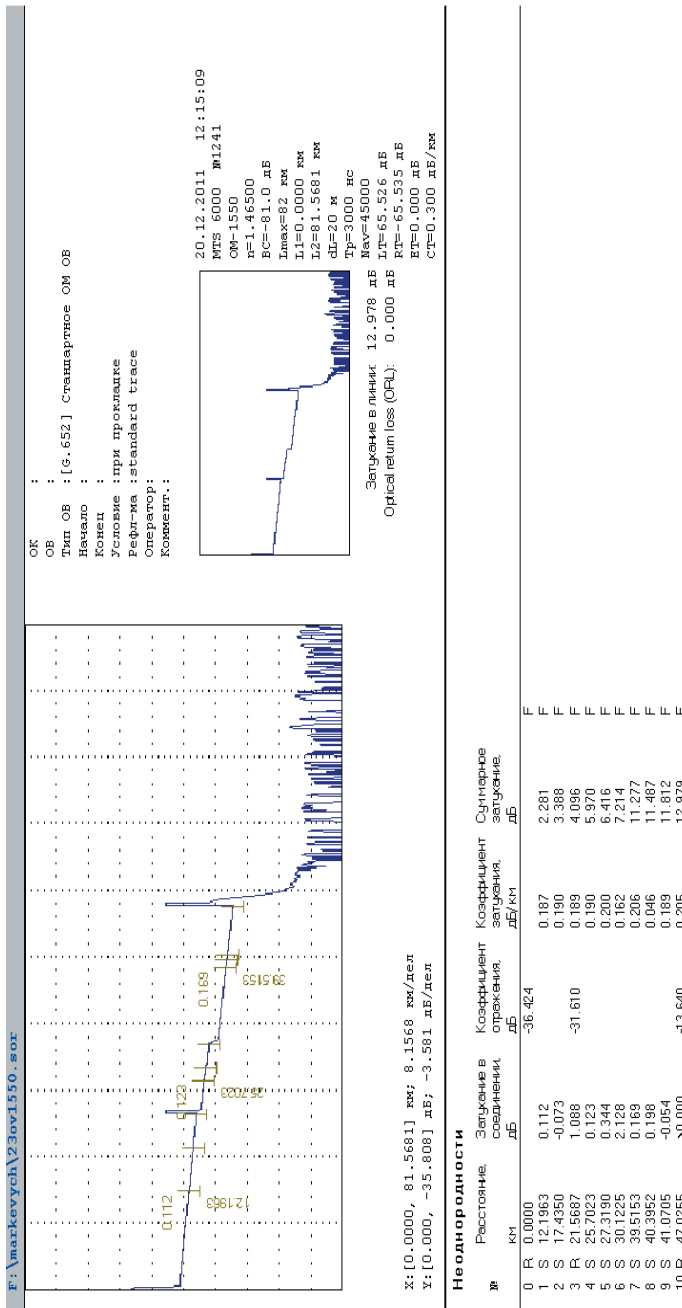


Рис.3. Рефлектоограма загасання сигналу в оптичному волокні, здійнного в експлуатацію оптоволоконного кабелю довжиною 47,025 км на вимірюваній довжні хвили 1550 нм

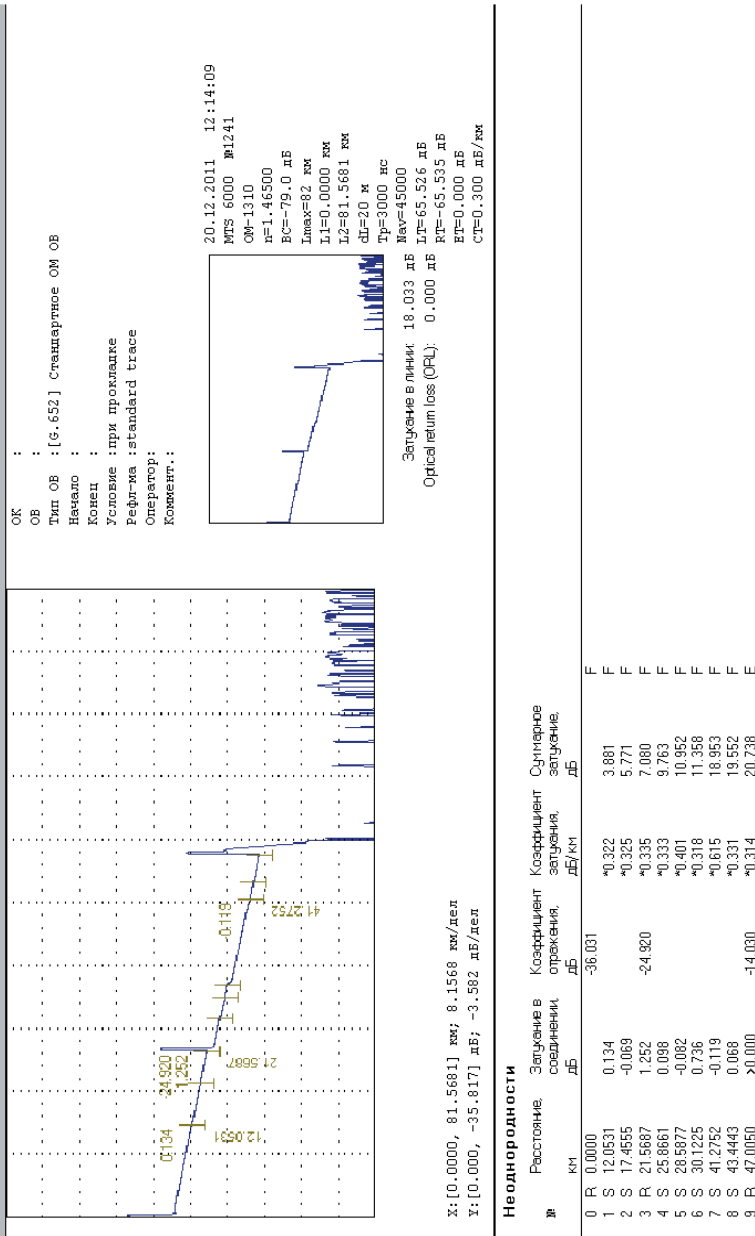


Рис.4. Рефлектограма загасання сигналу в оптичному волокні, задіяного в експлуатацію оптоволоконного кабелю довжиною 47,025 км на вимірюваній довжині хвилі 1310 нм

Фактори, що викликають загасання оптичного сигналу, який поширюється у волокні[1]:

- загасання світла, пов'язаного з вигинами оптичного волокна;

- загасання світла в оптичному волокні, що викликане розсіюванням сигналу;
- загасання, викликане поглинанням світла.

В наведених результатах експерименту показано поведінку оптичного сигналу в реальній лінії передачі на довжинах хвиль 1310 нм і 1550 нм (рис.3, 4).

Таблиця1. Результати експерименту на довжині хвилі 1310 нм.

№	Загасання на аттенюа-торі L_{OSS} , dB	Довжина лінії, що відповідає показникам аттенюатора при 1310 нм $l_{KM} = \frac{L_{OSS}}{L_{KM}}$, км	Одержанна потужність сигналу на приймачі P_{out} , dBm	Одержанна потужність сигналу на приймачі P_{out} , мW	Показник виведеного загасання в результаті експерименту L^*_{OSS} , dB
1	-2	5,00	2,24	1,69	-2,76
2	-3	7,50	1,29	1,358	-3,71
3	-4	10,00	0,33	1,088	-4,67
4	-5	12,50	-0,6	0,8712	-5,6
5	-6	15,00	-1,58	0,6953	-6,58
6	-7	17,50	-2,56	0,5549	-7,56
7	-8	20,00	-3,58	0,4421	-8,58
8	-9	22,50	-4,56	0,3521	-9,56
9	-10	25,00	-5,52	0,2803	-10,52
10	-11	27,50	-6,55	0,2228	-11,55
11	-12	30,00	-7,5	0,1779	-12,5
12	-13	32,50	-8,5	0,1413	-13,5
13	-14	35,00	-9,5	0,1121	-14,5
14	-15	37,50	-10,52	0,08996	-15,52
15	-16	40,00	-11,5	0,07066	-16,5
16	-17	42,50	-12,5	0,05621	-17,5
17	-18	45,00	-13,52	0,04457	-18,52
18	-19	47,50	-14,52	0,03539	-19,52
19	-20	50,00	-15,52	0,02808	-20,52
20	-21	52,5	-16,51	0,02234	-21,51
21	-22	55	-17,51	0,01776	-22,51

Враховуючи, що загасання на всій довжині регенераційної ділянки рівне:

$$L_{OSS} = L_{KM} \cdot l_{KM}, \quad (1)$$

де l_{KM} - довжина регенераційної ділянки (км), L_{KM} - кілометричне загасання (dB/км), звідси:

$$L_{KM} = \frac{L_{OSS}}{l_{KM}} \quad (2)$$

і, підставивши результати рефлектометричних вимірювань, отримаємо, що загасання оптичного сигналу в реальній оптоволоконній лінії рівне 0,3dB/км при довжині хвилі 1550 нм і 0,4 dB/км при 1310 нм.

Враховуючи, наведені вище результати кілометричного загасання, за допомогою оптичного аттенюатора FVA-60B шляхом зміни показника загасання створюємо макет оптичної лінії. З проведених вимірювань на довжинах хвиль II-го і III-го вікон прозорості маємо (табл.1, 2):

Таблиця 2. Результати експерименту на довжині хвилі 1550 нм.

№	Виставлене загасання на аттенюа-торі L_{OSS} , dB	Довжина лінії, що відповідає показникам аттенюатора при 1310 нм. $l_{KM} = \frac{L_{OSS}}{L_{KM}}$, км	Одержанна потужність сигналу на приймачі P_{out} , dBm	Одержанна потужність сигналу на приймачі P_{out} , mW	Показник виведеного загасання в результаті експерименту L^*_{OSS} , dB
1	-2	6,67	2,19	1,667	-2,81
2	-3	10,00	1,25	1,349	-3,75
3	-4	13,33	0,32	1,076	-4,68
4	-5	16,67	-0,61	0,8764	-5,61
5	-6	20,00	-1,54	0,7061	-6,54
6	-7	23,33	-2,47	0,5669	-7,47
7	-8	26,67	-3,44	0,4533	-8,44
8	-9	30,00	-4,42	0,3615	-9,42
9	-10	33,33	-5,4	0,2883	-10,4
10	-11	36,67	-6,38	0,2303	-11,38
11	-12	40,00	-7,37	0,1836	-12,37
12	-13	43,33	-8,34	0,1463	-13,34
13	-14	46,67	-9,34	0,1165	-14,34
14	-15	50,00	-10,33	0,09269	-15,33
15	-16	53,33	-11,36	0,07354	-16,36
16	-17	56,67	-12,33	0,05852	-17,33
17	-18	60,00	-13,32	0,04683	-18,32
18	-19	63,33	-14,31	0,03712	-19,31
19	-20	66,67	-15,27	0,0297	-20,27
20	-21	70,00	-16,29	0,02234	-21,29
21	-22	73,33	-17,27	0,01876	-22,27

Виходячи з формули для визначення загасання:

$$L_{OSS} = 10 \lg \left(\frac{P_{out}}{P_{in}} \right), \quad (3)$$

де P_{out} - потужність сигналу який отримується; P_{in} - потужність сигналу, що вводиться в лінію, отримаємо:

$$L_{OSS} = 10 * \lg(P_{out}) - 10 * \lg(P_{in}), \quad (4)$$

де $10 * \lg(P_{out})$ - потужність прийнятого сигналу, dBm; $10 * \lg(P_{in})$ - потужність переданого джерелом сигналу, dBm.

Причому потужність переданого джерелом сигналу $10 * \lg(P_{in}) = 5 \text{ dBm}$, а потужності прийнятого сигналу $10 * \lg(P_{out})$ відповідають табличні значення P_{out} dBm.

Отримані результати загасання тестованої макетної лінії для сигналів на довжинах хвиль 1310 нм і 1550 нм наведені відповідно в стовпцях «Показник виведеного загасання в результаті експерименту $L_{OSS}^* = 10 * \lg(P_{out}) - 10 * \lg(P_{in})$, dB» (табл. 1, 2).

Як видно $L_{OSS} \leq L_{OSS}^*$, знак мінус тут не враховується.

Середнє значення різниці $L_{OSS} - L_{OSS}^*$ для 1310 нм рівне 0,56 dB, а для 1550 нм відповідно 0,43 dB.

Різницею між реальним показником загасання і вимірюним, а також розбіжністю в середній різниці в показниках II-го і III-го вікон прозорості пояснюється наявністю додаткових комутацій (в даному випадку $n=4$). Як видно з таблиць із зростанням довжини оптоволоконної лінії різниця $L_{OSS} - L_{OSS}^*$ поступово зменшується.

Відтак формули для визначення загасання оптоволоконної лінії за умови неможливості калібрування передаючого і приймаючого вимірювального обладнання набувають вигляду:

$$L_{OSS}^* = 10 * \lg(P_{out}) - (10 * \lg(P_{in}) - n * 0,1), \text{ для } 1550 \text{ нм};$$

$$L_{OSS}^* = 10 * \lg(P_{out}) - (10 * \lg(P_{in}) - n * 0,15), \text{ для } 1310 \text{ нм},$$

де n -кількість комутаційних з'єднань, що потрібні для проведення вимірювань оптичної лінії.

Тоді залежність потужності сигналу в оптоволоконній лінії від довжини регенераційної ділянки, із врахуванням загасання комутаційних елементів для підключення обладнання, при 1310 нм і 1550 нм матиме вигляд (рис.5).

Висновок

За допомогою рефлектометра JDSU MTS 6000 визначено кілометричне загасання в одномодовому волокні при довжинах хвиль 1310 нм та 1550 нм. Враховуючи визначене кілометричне загасання, з використанням настроюваного оптичного аттенюатора Variable attenuator FVA-60B, складено макет оптоволоконної лінії. Експериментальним методом та шляхом математичних маніпуляцій виведено формулу для визначення загасання оптоволоконної лінії за умови неможливості калібрування передаючого і приймаючого вимірювального обладнання.

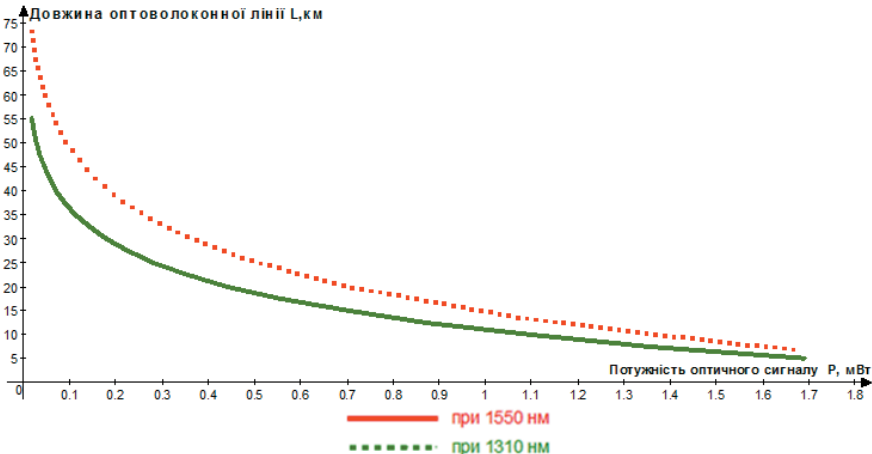


Рис.5. Залежність потужності сигналу від довжини регенераційної ділянки в оптоволоконній лінії

Встановлено залежність потужності сигналу в оптоволоконній лінії від довжини регенераційної ділянки, із врахуванням загасання комутаційних елементів для підключення обладнання.

1. Каток В.Б., Воробйов О.В. Проведення рефлектометричних вимірювань на ВОЛЗ під час будівельних, експлуатаційних та аварійно-відновлюваних робіт: Довідник. – К.: ДВІА “Звязок”, 2005. – 125с.
2. http://nbuv.gov.ua/portal/natural/Nvuu/Fiz/2012_31/V31_28.pdf
3. Волоконно-оптичний приймач EPM-500 серії FiberBasix. Інструкція по експлуатації.
4. Оптичне джерело сигналу EPS-500 серії FiberBasix. Інструкція по експлуатації.
5. Аттенюатор оптичний Variable attenuator FVA-60B фірми EXFO. Інструкція по експлуатації.
6. Мікроскоп для оптичних конекторів FBP-HD-1 фірма Westover. Інструкція по експлуатації.
7. Оптическая платформа MTS 6000. Інструкція по експлуатації.
8. Гроднев И.И., Верник С.М. Линии связи: Учебник для вузов. – 5-е изд., перераб. и доп. – М.: Радио и связь, 1988. – 544с. ISBN 5-256-00120-5.
9. Дэвид Бейли, Эдвар Райт. Волоконная оптика: теория и практика. – М.: КУДИЦ-ПРЕС, 2008. – 320 с. ISBN 978-5-91136-048-1 (рус)
10. Семенов А. Б. Волоконно-оптические подсистемы современных СКС. - ДМК пресс, 2007. – 640с.
11. Скляров О.К. Волоконно-оптические сети и системы связи. – Лань, 2010. – 272с.
12. Гуртов В.А. Оптоэлектроника и волоконная оптика: Учебное пособие. – Петропавловск: ПетрГУ, 2005. – 100 с.
13. Ларин Ю. Т., Теумен И. И. Оптические кабели. - М.: Энергоиздат, 2001. – 34 с.

Поступила 28.02.2013р.